

Eingabe: Farbmétrisches Offset-Reflektiv-System ORS18

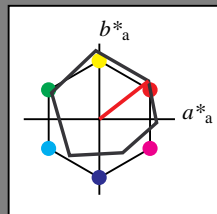
für Buntton $h^* = lab^*h = 38/360 = 0.105$

lab^*tch und lab^*nch

D50: Buntton O

LCH*Ma: 48 82 38

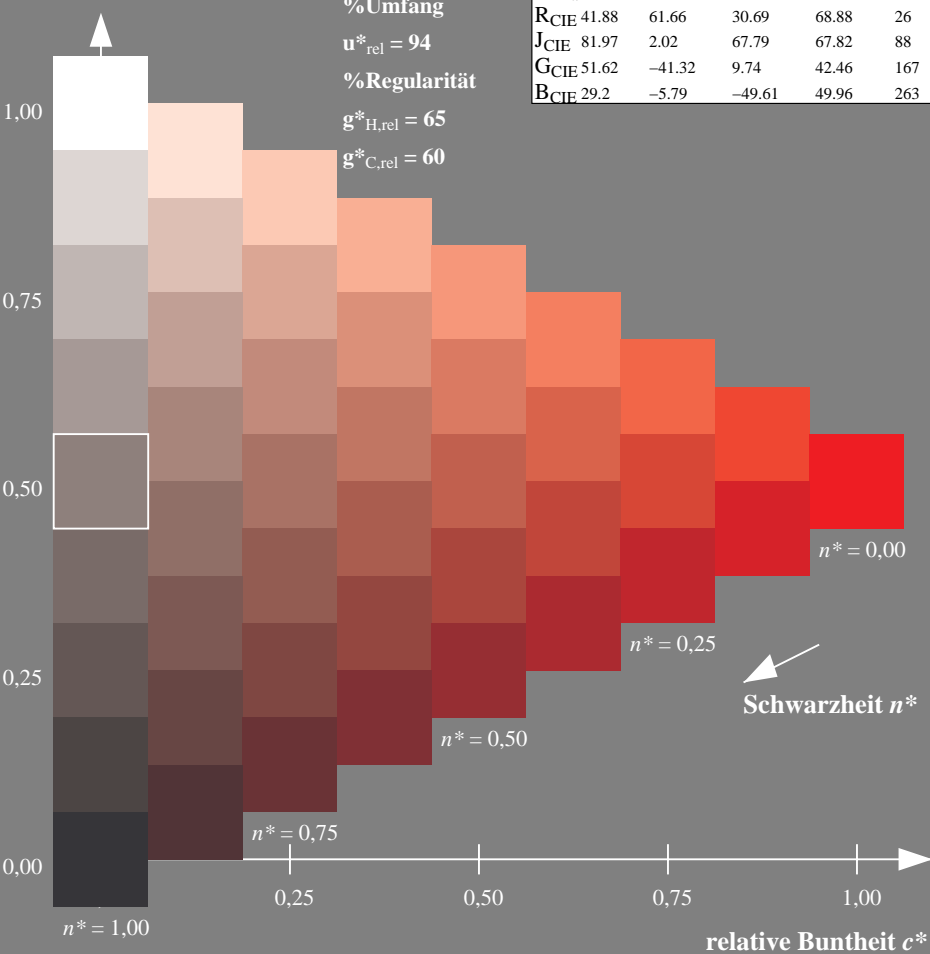
olv*Ma: 1.0 0.0 0.0



ORS18; adaptierte CIELAB-Daten

	$L^*=L^*_a$	a^*_a	b^*_a	$C^*_{ab,a}$	$h^*_{ab,a}$
O _{Ma}	47.94	65.05	50.54	82.38	38
Y _{Ma}	91.0	-4.72	90.58	90.7	93
L _{Ma}	50.9	-63.18	34.98	72.22	151
C _{Ma}	56.99	-39.34	-48.1	62.16	231
V _{Ma}	25.72	30.89	-44.4	54.09	305
M _{Ma}	49.99	75.76	-4.64	75.9	356
N _{Ma}	18.09	0.0	0.0	0.0	0
W _{Ma}	95.46	0.0	0.0	0.0	0
R _{CIE}	41.88	61.66	30.69	68.88	26
J _{CIE}	81.97	2.02	67.79	67.82	88
G _{CIE}	51.62	-41.32	9.74	42.46	167
B _{CIE}	29.2	-5.79	-49.61	49.96	263

Dreiecks-Helligkeit t^*



%Umfang

$u^*_{rel} = 94$

%Regularität

$g^*_{H,rel} = 65$

$g^*_{C,rel} = 60$

Ausgabe: Farbmétrisches Fernseh-Licht-System TLS00

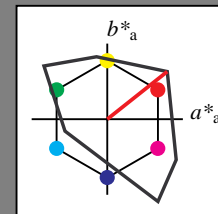
für Buntton $h^* = lab^*h = 38/360 = 0.107$

lab^*tch und lab^*nch

D50: Buntton O

LCH*Ma: 54 101 38

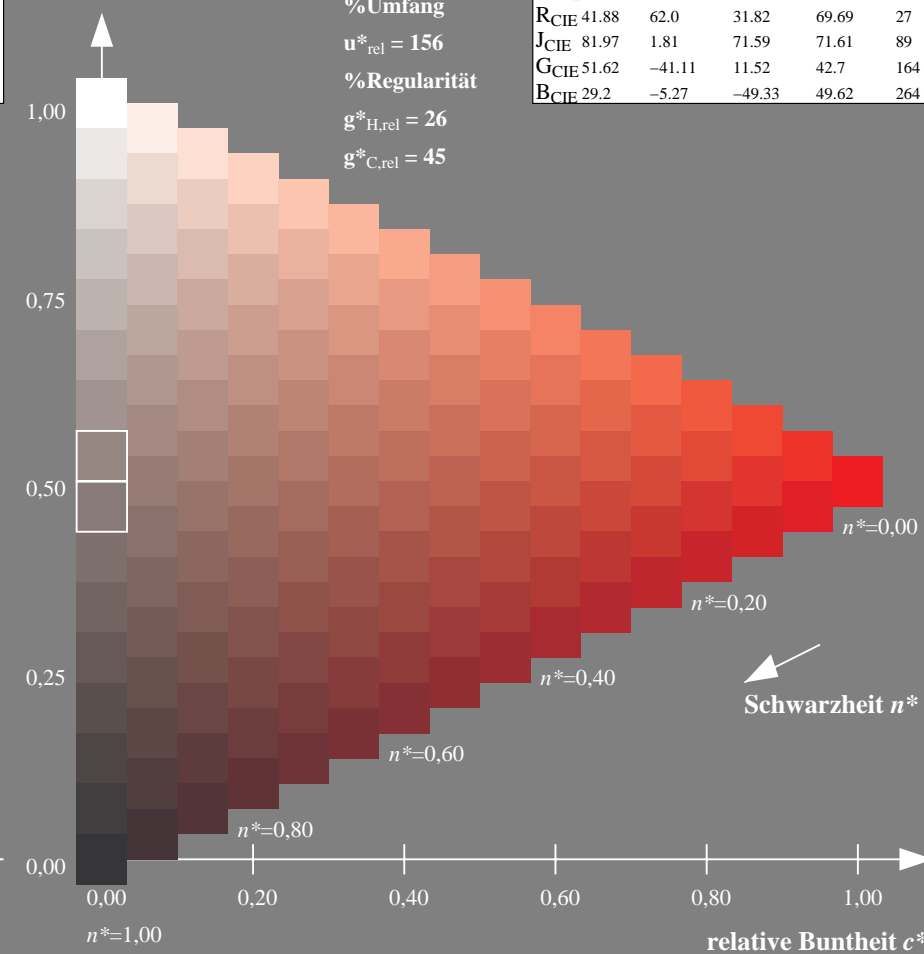
olv*Ma: 1.0 0.0 0.0



TLS00; adaptierte CIELAB-Daten

	$L^*=L^*_a$	a^*_a	b^*_a	$C^*_{ab,a}$	$h^*_{ab,a}$
O _{Ma}	54.19	79.36	63.0	101.33	38
Y _{Ma}	93.44	-14.18	82.59	83.8	100
L _{Ma}	82.82	-83.73	70.41	109.41	140
C _{Ma}	85.22	-55.9	-15.78	58.1	196
V _{Ma}	25.61	67.05	-108.87	127.87	302
M _{Ma}	58.76	91.18	-53.69	105.82	330
N _{Ma}	0.01	0.0	0.0	0.0	0
W _{Ma}	95.41	0.0	0.0	0.0	0
R _{CIE}	41.88	62.0	31.82	69.69	27
J _{CIE}	81.97	1.81	71.59	71.61	89
G _{CIE}	51.62	-41.11	11.52	42.7	164
B _{CIE}	29.2	-5.27	-49.33	49.62	264

Dreiecks-Helligkeit t^*



%Umfang

$u^*_{rel} = 156$

%Regularität

$g^*_{H,rel} = 26$

$g^*_{C,rel} = 45$

QG900-7, 9stufige Reihen für konstanten CIELAB Buntton 38/360 = 0.105 (links)

16stufige Reihen für konstanten CIELAB Buntton 38/360 = 0.107 (rechts)

BAM-Prüfvorlage QG90; Farbmétrik-Systeme ORS18 & ORS18input: *cmY0* setcmykcolor*

D50: 9 und 16stufige Farbreihen für 10 Bunttöne

output: *Startup (S) data dependend*

Siehe ähnliche Dateien: <http://www.ps.bam.de/QG90/>
Technische Information: <http://www.ps.bam.de/Version 2.1, io=0,0?>

BAM-Registrierung: 20060101-QG90/10L/L90G00SP.PS/.PDF BAM-Material: Code=rh4ta
Anwendung für Beurteilung und Messung von Drucker- oder Monitorssystemen
/QG90/ Form: 1/10, Serie: 1/1, Seite: 1
Satzanzahl: 1

Eingabe: Farbmétrisches Offset-Reflektiv-System ORS18

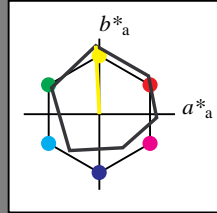
für Buntton $h^* = lab^*h = 93/360 = 0.258$

lab^*tch und lab^*nch

D50: Buntton Y

LCH*Ma: 91 91 93

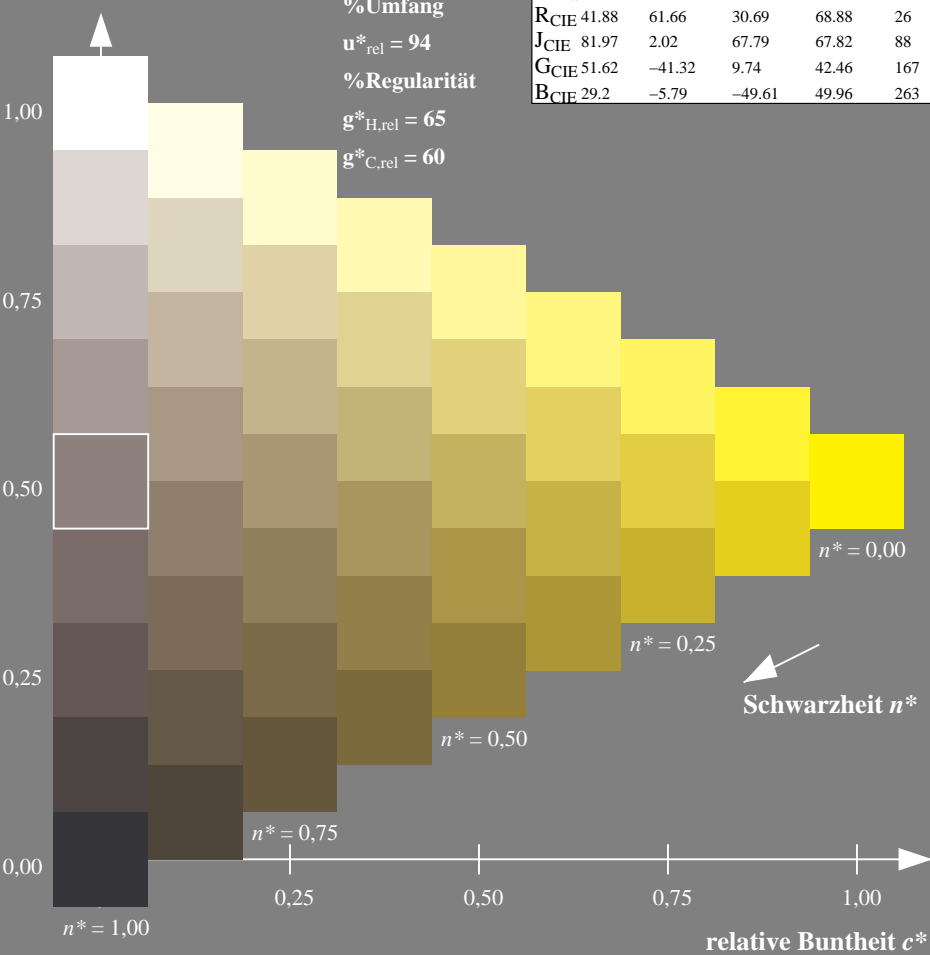
olv*Ma: 1.0 1.0 0.0



ORS18; adaptierte CIELAB-Daten

	$L^*=L^*_a$	a^*_a	b^*_a	$C^*_{ab,a}$	$h^*_{ab,a}$
O _{Ma}	47.94	65.05	50.54	82.38	38
Y _{Ma}	91.0	-4.72	90.58	90.7	93
L _{Ma}	50.9	-63.18	34.98	72.22	151
C _{Ma}	56.99	-39.34	-48.1	62.16	231
V _{Ma}	25.72	30.89	-44.4	54.09	305
M _{Ma}	49.99	75.76	-4.64	75.9	356
N _{Ma}	18.09	0.0	0.0	0.0	0
W _{Ma}	95.46	0.0	0.0	0.0	0
R _{CIE}	41.88	61.66	30.69	68.88	26
J _{CIE}	81.97	2.02	67.79	67.82	88
G _{CIE}	51.62	-41.32	9.74	42.46	167
B _{CIE}	29.2	-5.79	-49.61	49.96	263

Dreiecks-Helligkeit t^*



Ausgabe: Farbmétrisches Fernseh-Licht-System TLS00

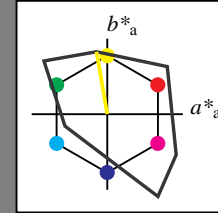
für Buntton $h^* = lab^*h = 100/360 = 0.277$

lab^*tch und lab^*nch

D50: Buntton Y

LCH*Ma: 93 84 100

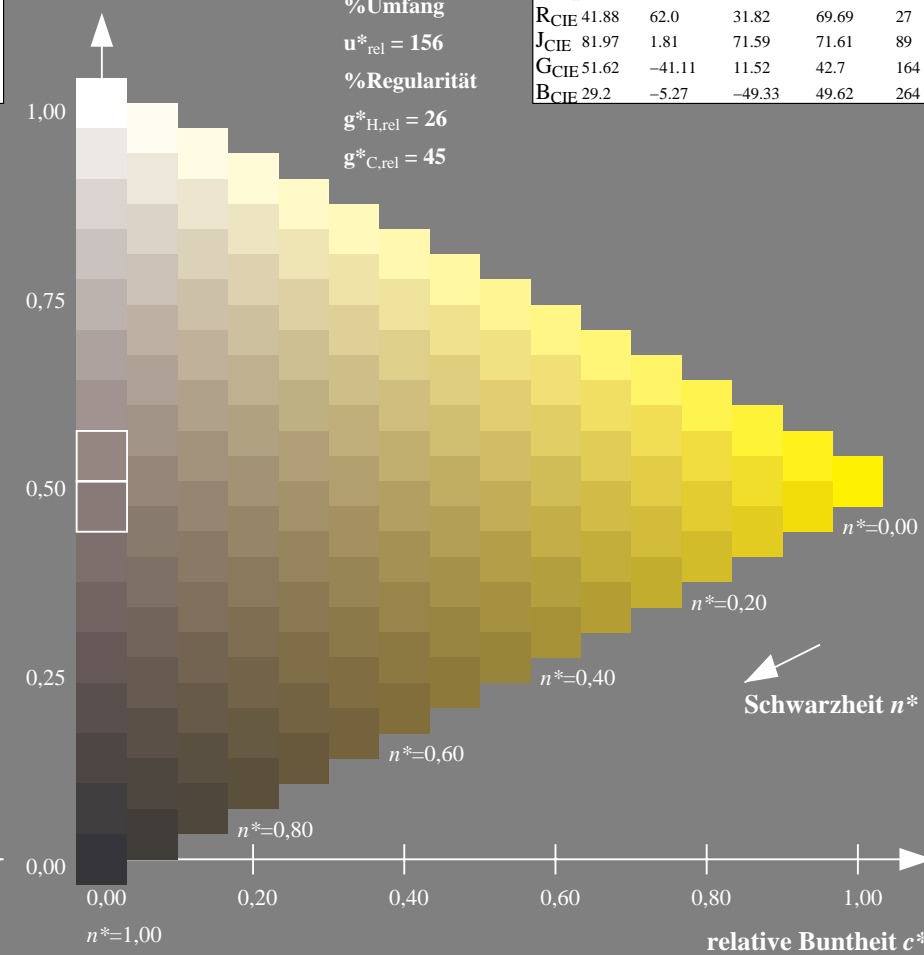
olv*Ma: 1.0 1.0 0.0



TLS00; adaptierte CIELAB-Daten

	$L^*=L^*_a$	a^*_a	b^*_a	$C^*_{ab,a}$	$h^*_{ab,a}$
O _{Ma}	54.19	79.36	63.0	101.33	38
Y _{Ma}	93.44	-14.18	82.59	83.8	100
L _{Ma}	82.82	-83.73	70.41	109.41	140
C _{Ma}	85.22	-55.9	-15.78	58.1	196
V _{Ma}	25.61	67.05	-108.87	127.87	302
M _{Ma}	58.76	91.18	-53.69	105.82	330
N _{Ma}	0.01	0.0	0.0	0.0	0
W _{Ma}	95.41	0.0	0.0	0.0	0
R _{CIE}	41.88	62.0	31.82	69.69	27
J _{CIE}	81.97	1.81	71.59	71.61	89
G _{CIE}	51.62	-41.11	11.52	42.7	164
B _{CIE}	29.2	-5.27	-49.33	49.62	264

Dreiecks-Helligkeit t^*



QG900-7, 9stufige Reihen für konstanten CIELAB Buntton 93/360 = 0.258 (links)

16stufige Reihen für konstanten CIELAB Buntton 100/360 = 0.277 (rechts)

BAM-Prüfvorlage QG90; Farbmétrik-Systeme ORS18 & ORS18input: $cmY0^*$ setcmYcolor

D50: 9 und 16stufige Farbreihen für 10 Bunttöne

output: Startup (S) data dependend

Siehe ähnliche Dateien: <http://www.ps.bam.de/QG90/>
Technische Information: <http://www.ps.bam.de/Version 2.1, io=0,0?>

BAM-Registrierung: 20060101-QG90/10L/L90G01SP.PS/.PDF BAM-Material: Code=rh4ta
Anwendung für Beurteilung und Messung von Drucker- oder Monitorssystemen
/QG90/ Form: 2/10, Serie: 1/1, Seite: 2
Satzanzahlung 2

Eingabe: Farbmétrisches Offset-Reflektiv-System ORS18

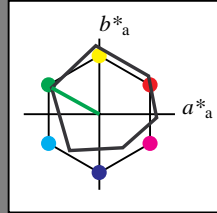
für Buntton $h^* = lab^*h = 151/360 = 0.42$

lab^*tch und lab^*nch

D50: Buntton L

LCH*Ma: 51 72 151

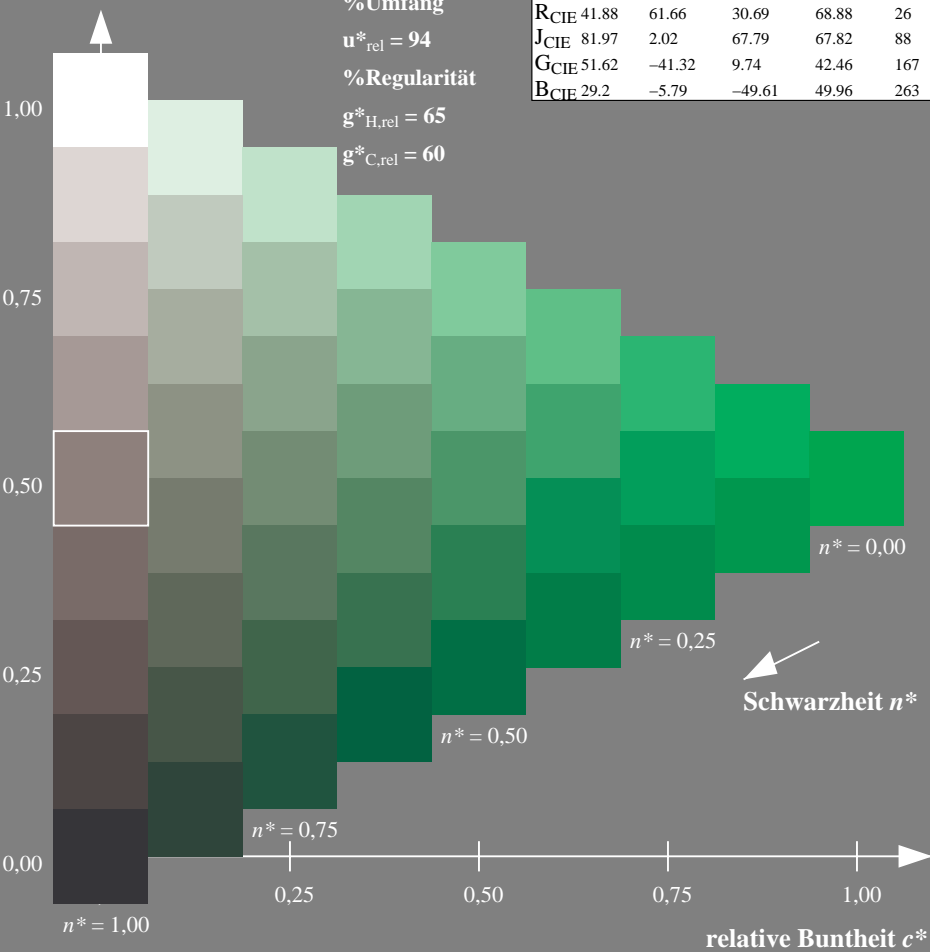
olv*Ma: 0.0 1.0 0.0



ORS18; adaptierte CIELAB-Daten

	$L^*=L^*_a$	a^*_a	b^*_a	$C^*_{ab,a}$	$h^*_{ab,a}$
O _{Ma}	47.94	65.05	50.54	82.38	38
Y _{Ma}	91.0	-4.72	90.58	90.7	93
L _{Ma}	50.9	-63.18	34.98	72.22	151
C _{Ma}	56.99	-39.34	-48.1	62.16	231
V _{Ma}	25.72	30.89	-44.4	54.09	305
M _{Ma}	49.99	75.76	-4.64	75.9	356
N _{Ma}	18.09	0.0	0.0	0.0	0
W _{Ma}	95.46	0.0	0.0	0.0	0
R _{CIE}	41.88	61.66	30.69	68.88	26
J _{CIE}	81.97	2.02	67.79	67.82	88
G _{CIE}	51.62	-41.32	9.74	42.46	167
B _{CIE}	29.2	-5.79	-49.61	49.96	263

Dreiecks-Helligkeit t^*



Ausgabe: Farbmétrisches Fernseh-Licht-System TLS00

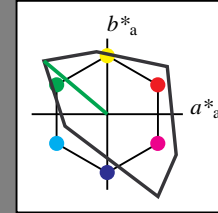
für Buntton $h^* = lab^*h = 140/360 = 0.389$

lab^*tch und lab^*nch

D50: Buntton L

LCH*Ma: 83 109 140

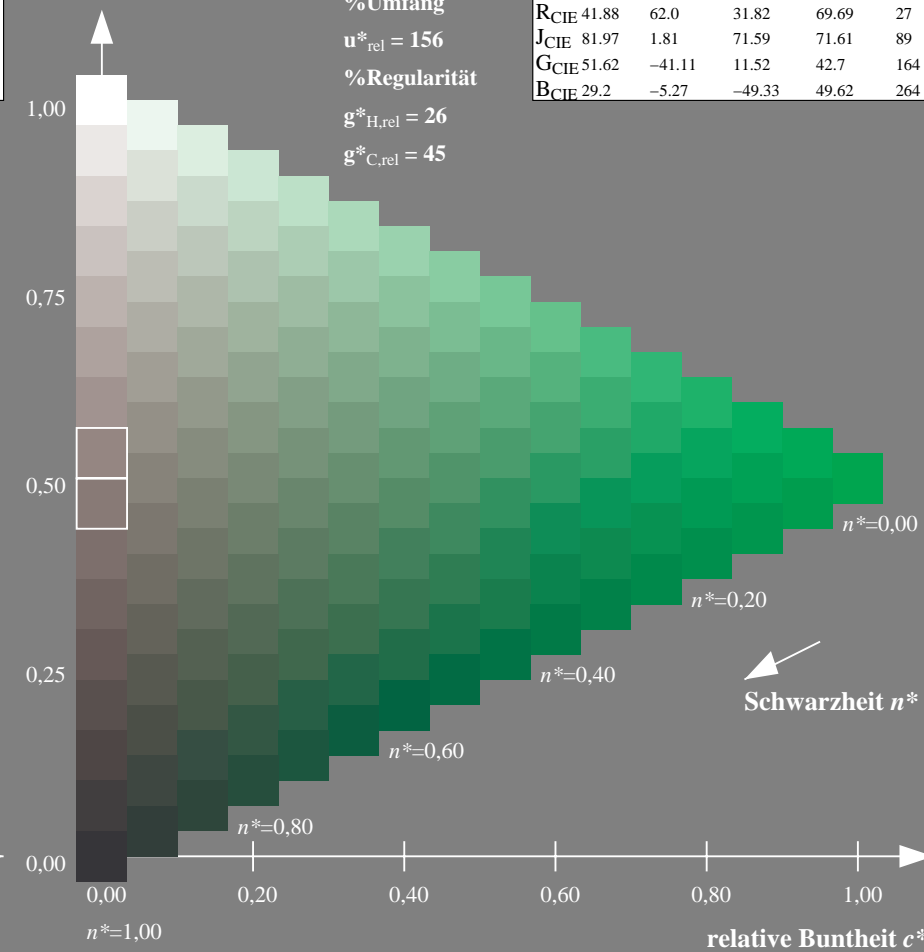
olv*Ma: 0.0 1.0 0.0



TLS00; adaptierte CIELAB-Daten

	$L^*=L^*_a$	a^*_a	b^*_a	$C^*_{ab,a}$	$h^*_{ab,a}$
O _{Ma}	54.19	79.36	63.0	101.33	38
Y _{Ma}	93.44	-14.18	82.59	83.8	100
L _{Ma}	82.82	-83.73	70.41	109.41	140
C _{Ma}	85.22	-55.9	-15.78	58.1	196
V _{Ma}	25.61	67.05	-108.87	127.87	302
M _{Ma}	58.76	91.18	-53.69	105.82	330
N _{Ma}	0.01	0.0	0.0	0.0	0
W _{Ma}	95.41	0.0	0.0	0.0	0
R _{CIE}	41.88	62.0	31.82	69.69	27
J _{CIE}	81.97	1.81	71.59	71.61	89
G _{CIE}	51.62	-41.11	11.52	42.7	164
B _{CIE}	29.2	-5.27	-49.33	49.62	264

Dreiecks-Helligkeit t^*



QG900-7, 9stufige Reihen für konstanten CIELAB Buntton 151/360 = 0.42 (links)

16stufige Reihen für konstanten CIELAB Buntton 140/360 = 0.389 (rechts)

BAM-Prüfvorlage QG90; Farbmétrik-Systeme ORS18 & ORS18input: cmY^*_0 setcmykcolor

D50: 9 und 16stufige Farbreihen für 10 Bunttöne

output: Startup (S) data dependend

Siehe ähnliche Dateien: <http://www.ps.bam.de/QG90/>
Technische Information: <http://www.ps.bam.de/Version 2.1, io=0,0?>

BAM-Registrierung: 20060101-QG90/10L/L90G02SP.PS/.PDF BAM-Material: Code=rh4ta
Anwendung für Beurteilung und Messung von Drucker- oder Monitorssystemen
/QG90/ Form: 3/10, Serie: 1/1, Seite: 3
Satzanzahlung 3

Eingabe: Farbmatisches Offset-Reflektiv-System ORS18

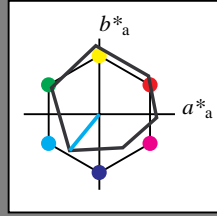
für Buntton $h^* = lab^*h = 231/360 = 0.641$

lab^*ch und lab^*nch

D50: Buntton C

LCH*Ma: 57 62 231

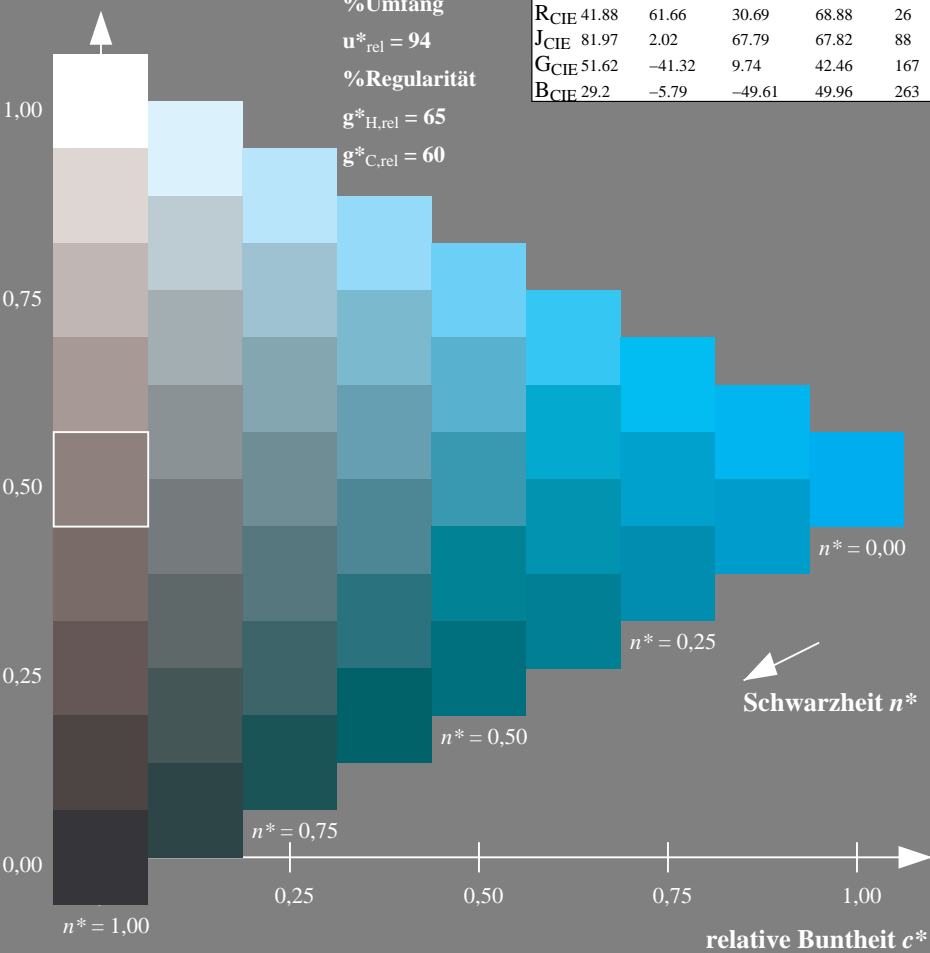
olv*Ma: 0.0 1.0 1.0



ORS18; adaptierte CIELAB-Daten

	$L^*=L^*_a$	a^*_a	b^*_a	$C^*_{ab,a}$	$h^*_{ab,a}$
O _{Ma}	47.94	65.05	50.54	82.38	38
Y _{Ma}	91.0	-4.72	90.58	90.7	93
L _{Ma}	50.9	-63.18	34.98	72.22	151
C _{Ma}	56.99	-39.34	-48.1	62.16	231
V _{Ma}	25.72	30.89	-44.4	54.09	305
M _{Ma}	49.99	75.76	-4.64	75.9	356
N _{Ma}	18.09	0.0	0.0	0.0	0
W _{Ma}	95.46	0.0	0.0	0.0	0
R _{CIE}	41.88	61.66	30.69	68.88	26
J _{CIE}	81.97	2.02	67.79	67.82	88
G _{CIE}	51.62	-41.32	9.74	42.46	167
B _{CIE}	29.2	-5.79	-49.61	49.96	263

Dreiecks-Helligkeit t^*



Ausgabe: Farbmatisches Fernseh-Licht-System TLS00

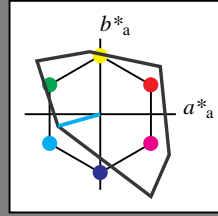
für Buntton $h^* = lab^*h = 196/360 = 0.544$

lab^*ch und lab^*nch

D50: Buntton C

LCH*Ma: 85 58 196

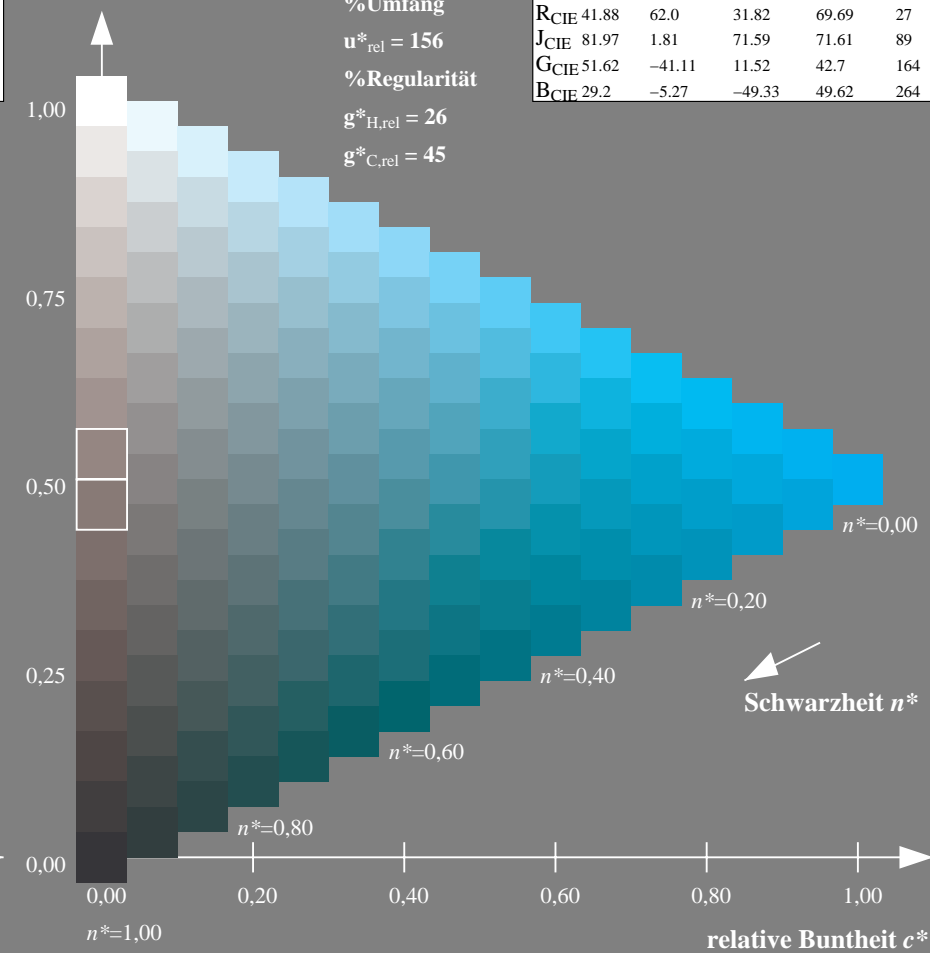
olv*Ma: 0.0 1.0 1.0



TLS00; adaptierte CIELAB-Daten

	$L^*=L^*_a$	a^*_a	b^*_a	$C^*_{ab,a}$	$h^*_{ab,a}$
O _{Ma}	54.19	79.36	63.0	101.33	38
Y _{Ma}	93.44	-14.18	82.59	83.8	100
L _{Ma}	82.82	-83.73	70.41	109.41	140
C _{Ma}	85.22	-55.9	-15.78	58.1	196
V _{Ma}	25.61	67.05	-108.87	127.87	302
M _{Ma}	58.76	91.18	-53.69	105.82	330
N _{Ma}	0.01	0.0	0.0	0.0	0
W _{Ma}	95.41	0.0	0.0	0.0	0
R _{CIE}	41.88	62.0	31.82	69.69	27
J _{CIE}	81.97	1.81	71.59	71.61	89
G _{CIE}	51.62	-41.11	11.52	42.7	164
B _{CIE}	29.2	-5.27	-49.33	49.62	264

Dreiecks-Helligkeit t^*



Siehe ähnliche Dateien: <http://www.ps.bam.de/QG90/>
Technische Information: <http://www.ps.bam.de/Version 2.1, io=0,0?>

BAM-Registrierung: 20060101-QG90/10L/L90G03SP.PS/.PDF BAM-Material: Code=rh4ta
Anwendung für Beurteilung und Messung von Drucker- oder Monitorssystemen
/QG90/ Form: 4/10, Serie: 1/1, Seite: 4
Satzung 4

QG900-7, 9stufige Reihen für konstanten CIELAB Buntton 231/360 = 0.641 (links)

16stufige Reihen für konstanten CIELAB Buntton 196/360 = 0.544 (rechts)

BAM-Prüfvorlage QG90; Farbmatrik-Systeme ORS18 & ORS18input: *cmY0* setcmykcolor*

D50: 9 und 16stufige Farbreihen für 10 Bunttöne

output: *Startup (S) data dependend*

Eingabe: Farbmatisches Offset-Reflektiv-System ORS18

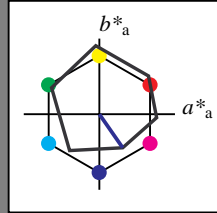
für Buntton $h^* = lab^*h = 305/360 = 0.847$

lab^*tch und lab^*nch

D50: Buntton V

LCH*Ma: 26 54 305

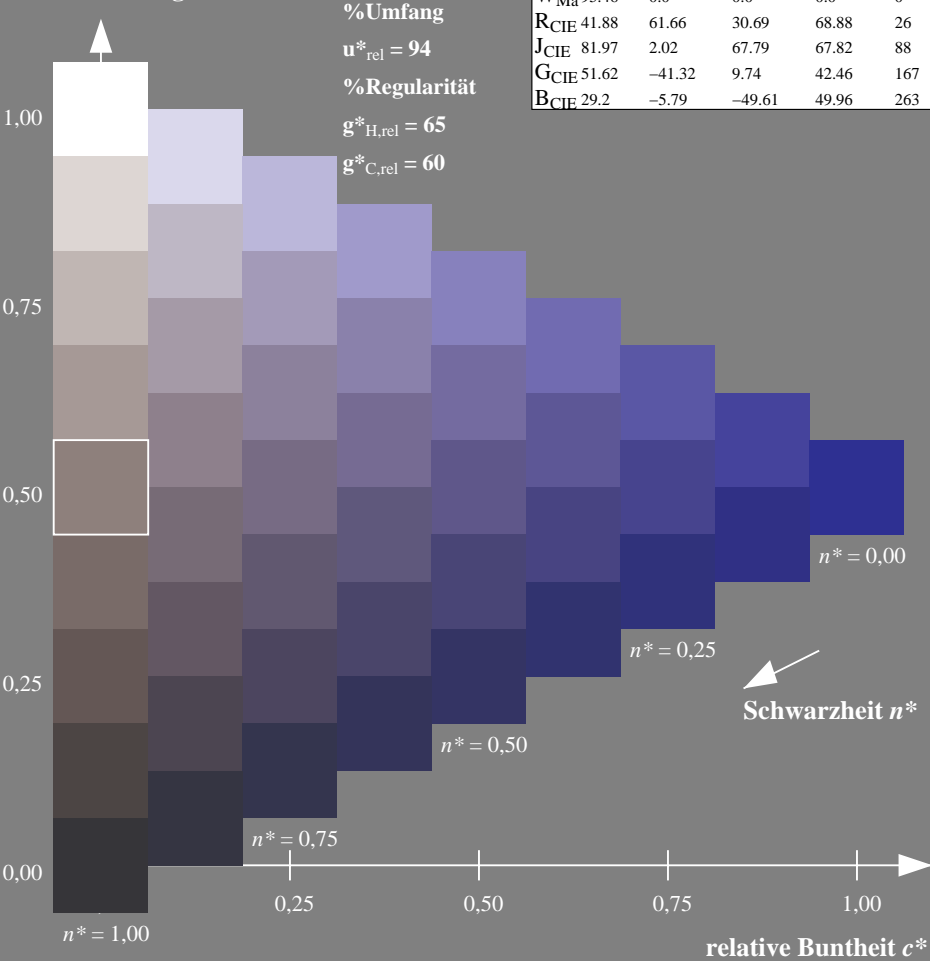
olv*Ma: 0.0 0.0 1.0



ORS18; adaptierte CIELAB-Daten

	$L^*=L^*_a$	a^*_a	b^*_a	$C^*_{ab,a}$	$h^*_{ab,a}$
O _{Ma}	47.94	65.05	50.54	82.38	38
Y _{Ma}	91.0	-4.72	90.58	90.7	93
L _{Ma}	50.9	-63.18	34.98	72.22	151
C _{Ma}	56.99	-39.34	-48.1	62.16	231
V _{Ma}	25.72	30.89	-44.4	54.09	305
M _{Ma}	49.99	75.76	-4.64	75.9	356
N _{Ma}	18.09	0.0	0.0	0.0	0
W _{Ma}	95.46	0.0	0.0	0.0	0
R _{CIE}	41.88	61.66	30.69	68.88	26
J _{CIE}	81.97	2.02	67.79	67.82	88
G _{CIE}	51.62	-41.32	9.74	42.46	167
B _{CIE}	29.2	-5.79	-49.61	49.96	263

Dreiecks-Helligkeit t^*



%Umfang

$u^*_{rel} = 94$

%Regularität

$g^*_{H,rel} = 65$

$g^*_{C,rel} = 60$

Ausgabe: Farbmatisches Fernseh-Licht-System TLS00

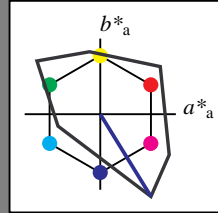
für Buntton $h^* = lab^*h = 302/360 = 0.838$

lab^*tch und lab^*nch

D50: Buntton V

LCH*Ma: 26 128 302

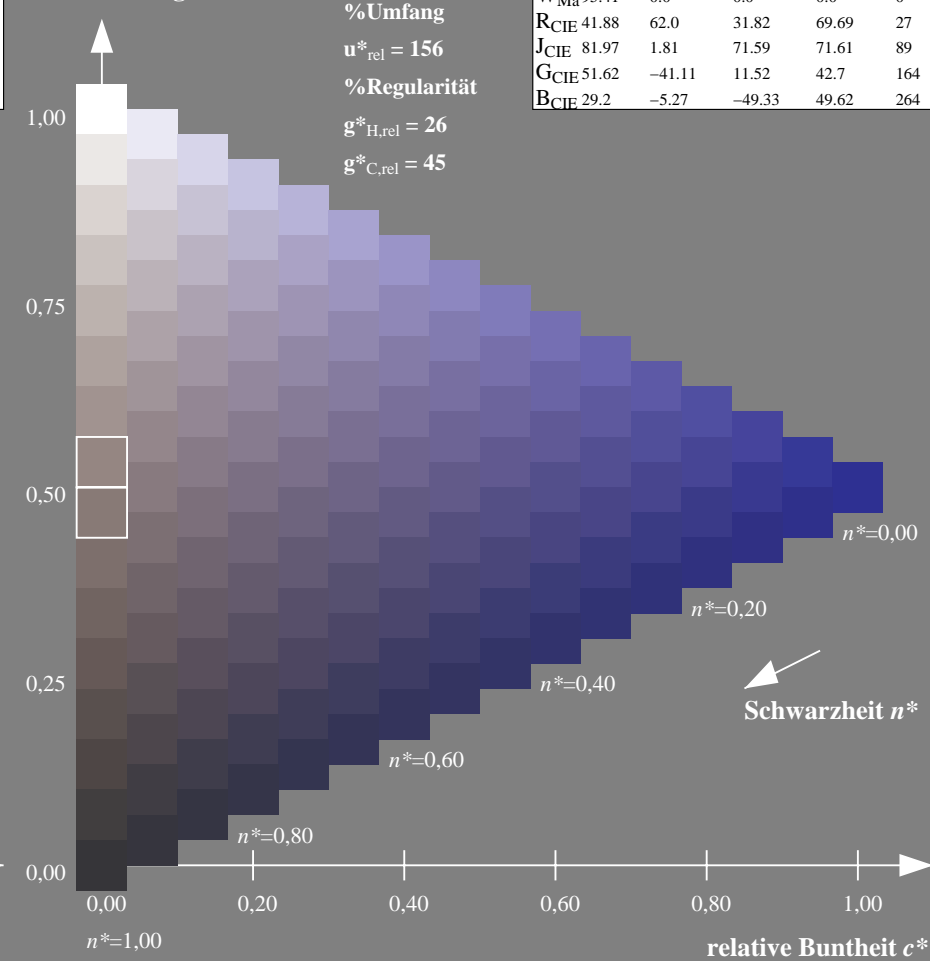
olv*Ma: 0.0 0.0 1.0



TLS00; adaptierte CIELAB-Daten

	$L^*=L^*_a$	a^*_a	b^*_a	$C^*_{ab,a}$	$h^*_{ab,a}$
O _{Ma}	54.19	79.36	63.0	101.33	38
Y _{Ma}	93.44	-14.18	82.59	83.8	100
L _{Ma}	82.82	-83.73	70.41	109.41	140
C _{Ma}	85.22	-55.9	-15.78	58.1	196
V _{Ma}	25.61	67.05	-108.87	127.87	302
M _{Ma}	58.76	91.18	-53.69	105.82	330
N _{Ma}	0.01	0.0	0.0	0.0	0
W _{Ma}	95.41	0.0	0.0	0.0	0
R _{CIE}	41.88	62.0	31.82	69.69	27
J _{CIE}	81.97	1.81	71.59	71.61	89
G _{CIE}	51.62	-41.11	11.52	42.7	164
B _{CIE}	29.2	-5.27	-49.33	49.62	264

Dreiecks-Helligkeit t^*



%Umfang

$u^*_{rel} = 156$

%Regularität

$g^*_{H,rel} = 26$

$g^*_{C,rel} = 45$

QG900-7, 9stufige Reihen für konstanten CIELAB Buntton 305/360 = 0.847 (links)

16stufige Reihen für konstanten CIELAB Buntton 302/360 = 0.838 (rechts)

BAM-Prüfvorlage QG90; Farbmatrik-Systeme ORS18 & ORS18input: $cmy0^*_{setcmycolor}$

D50: 9 und 16stufige Farbreihen für 10 Bunttöne

output: Startup (S) data dependend

Siehe ähnliche Dateien: <http://www.ps.bam.de/QG90/>
Technische Information: <http://www.ps.bam.de/Version 2.1, io=0,0?>

BAM-Registrierung: 20060101-QG90/10L/L90G04SP.PS/.PDF BAM-Material: Code=rh4ta
Anwendung für Beurteilung und Messung von Drucker- oder Monitorssystemen
/QG90/ Form: 5/10, Serie: 1/1, Seite: 5
Satzanzahlung 5

Eingabe: Farbmétrisches Offset-Reflektiv-System ORS18

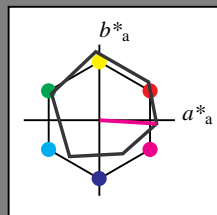
für Buntton $h^* = lab^*h = 356/360 = 0,99$

lab^*tch und lab^*nch

D50: Buntton M

LCH*Ma: 50 76 356

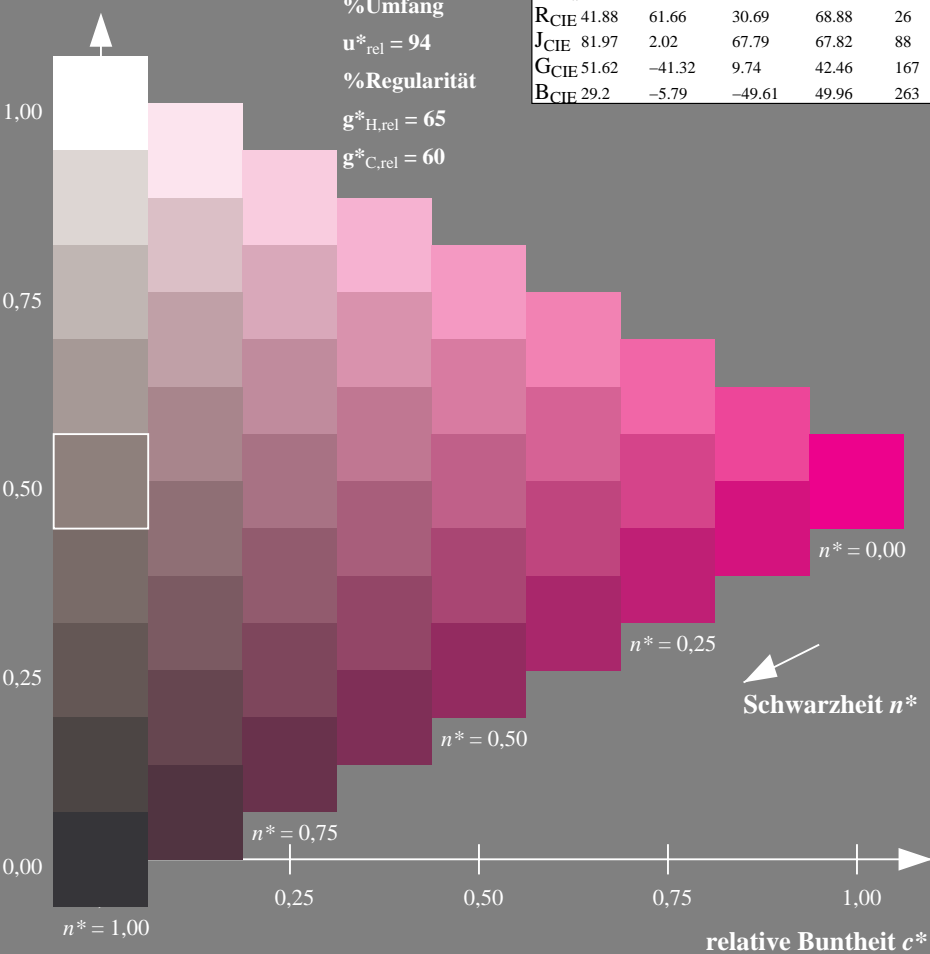
olv*Ma: 1.0 0.0 1.0



ORS18; adaptierte CIELAB-Daten

	$L^*=L^*_a$	a^*_a	b^*_a	$C^*_{ab,a}$	$h^*_{ab,a}$
O _{Ma}	47.94	65.05	50.54	82.38	38
Y _{Ma}	91.0	-4.72	90.58	90.7	93
L _{Ma}	50.9	-63.18	34.98	72.22	151
C _{Ma}	56.99	-39.34	-48.1	62.16	231
V _{Ma}	25.72	30.89	-44.4	54.09	305
M _{Ma}	49.99	75.76	-4.64	75.9	356
N _{Ma}	18.09	0.0	0.0	0.0	0
W _{Ma}	95.46	0.0	0.0	0.0	0
R _{CIE}	41.88	61.66	30.69	68.88	26
J _{CIE}	81.97	2.02	67.79	67.82	88
G _{CIE}	51.62	-41.32	9.74	42.46	167
B _{CIE}	29.2	-5.79	-49.61	49.96	263

Dreiecks-Helligkeit t^*



%Umfang

$u^*_{rel} = 94$

%Regularität

$g^*_{H,rel} = 65$

$g^*_{C,rel} = 60$

Ausgabe: Farbmétrisches Fernseh-Licht-System TLS00

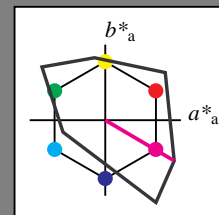
für Buntton $h^* = lab^*h = 330/360 = 0,915$

lab^*tch und lab^*nch

D50: Buntton M

LCH*Ma: 59 106 330

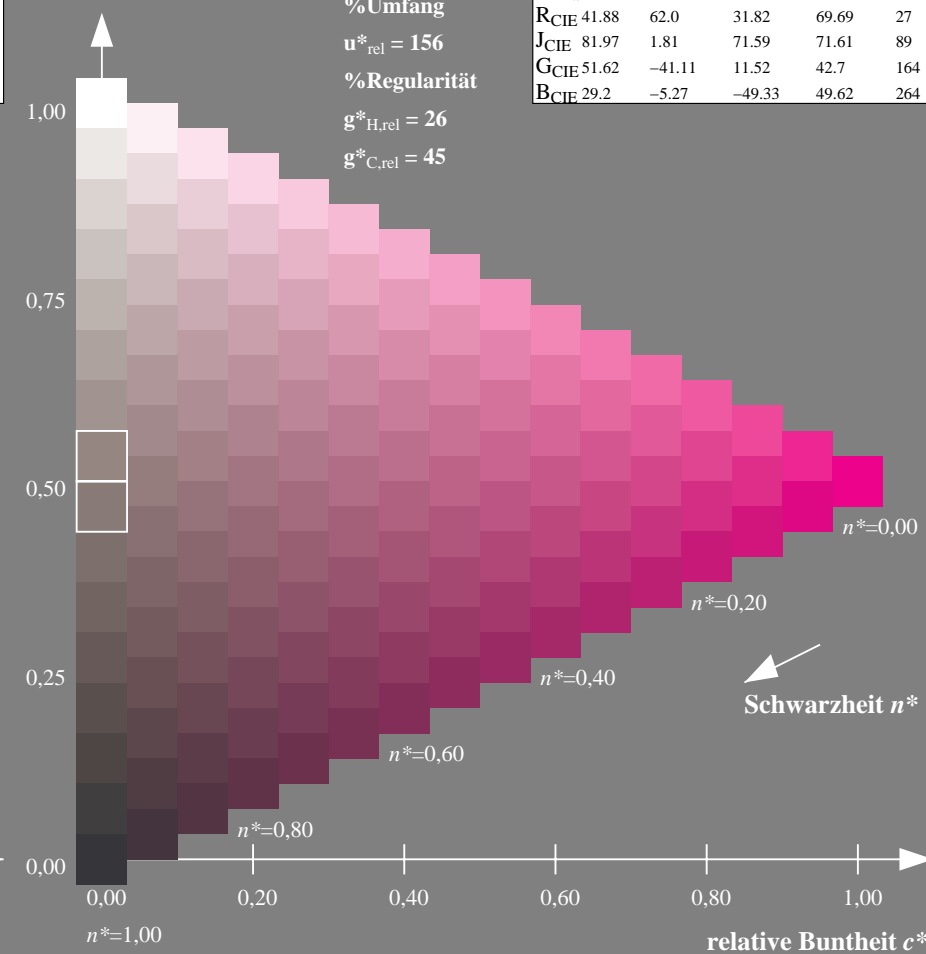
olv*Ma: 1.0 0.0 1.0



TLS00; adaptierte CIELAB-Daten

	$L^*=L^*_a$	a^*_a	b^*_a	$C^*_{ab,a}$	$h^*_{ab,a}$
O _{Ma}	54.19	79.36	63.0	101.33	38
Y _{Ma}	93.44	-14.18	82.59	83.8	100
L _{Ma}	82.82	-83.73	70.41	109.41	140
C _{Ma}	85.22	-55.9	-15.78	58.1	196
V _{Ma}	25.61	67.05	-108.87	127.87	302
M _{Ma}	58.76	91.18	-53.69	105.82	330
N _{Ma}	0.01	0.0	0.0	0.0	0
W _{Ma}	95.41	0.0	0.0	0.0	0
R _{CIE}	41.88	62.0	31.82	69.69	27
J _{CIE}	81.97	1.81	71.59	71.61	89
G _{CIE}	51.62	-41.11	11.52	42.7	164
B _{CIE}	29.2	-5.27	-49.33	49.62	264

Dreiecks-Helligkeit t^*



%Umfang

$u^*_{rel} = 156$

%Regularität

$g^*_{H,rel} = 26$

$g^*_{C,rel} = 45$

QG900-7, 9stufige Reihen für konstanten CIELAB Buntton 356/360 = 0.99 (links)

16stufige Reihen für konstanten CIELAB Buntton 330/360 = 0.915 (rechts)

BAM-Prüfvorlage QG90; Farbmétrik-Systeme ORS18 & ORS18input: *cmY0* setcmykcolor*

D50: 9 und 16stufige Farbreihen für 10 Bunttöne

output: *Startup (S) data dependend*

Siehe ähnliche Dateien: <http://www.ps.bam.de/QG90/>
Technische Information: <http://www.ps.bam.de/Version 2.1, io=0,0?>

BAM-Registrierung: 20060101-QG90/10L/L90G05SP.PS/.PDF BAM-Material: Code=rh4ta
Anwendung für Beurteilung und Messung von Drucker- oder Monitorssystemen
/QG90/ Form: 6/10, Serie: 1/1, Seite: 6
Satzanzahlung 6

Eingabe: Farbmatisches Offset-Reflektiv-System ORS18

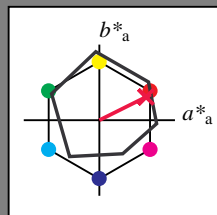
für Buntton $h^* = lab^*h = 26/360 = 0.074$

lab^*tch und lab^*nch

D50: Buntton R

LCH*Ma: 49 76 26

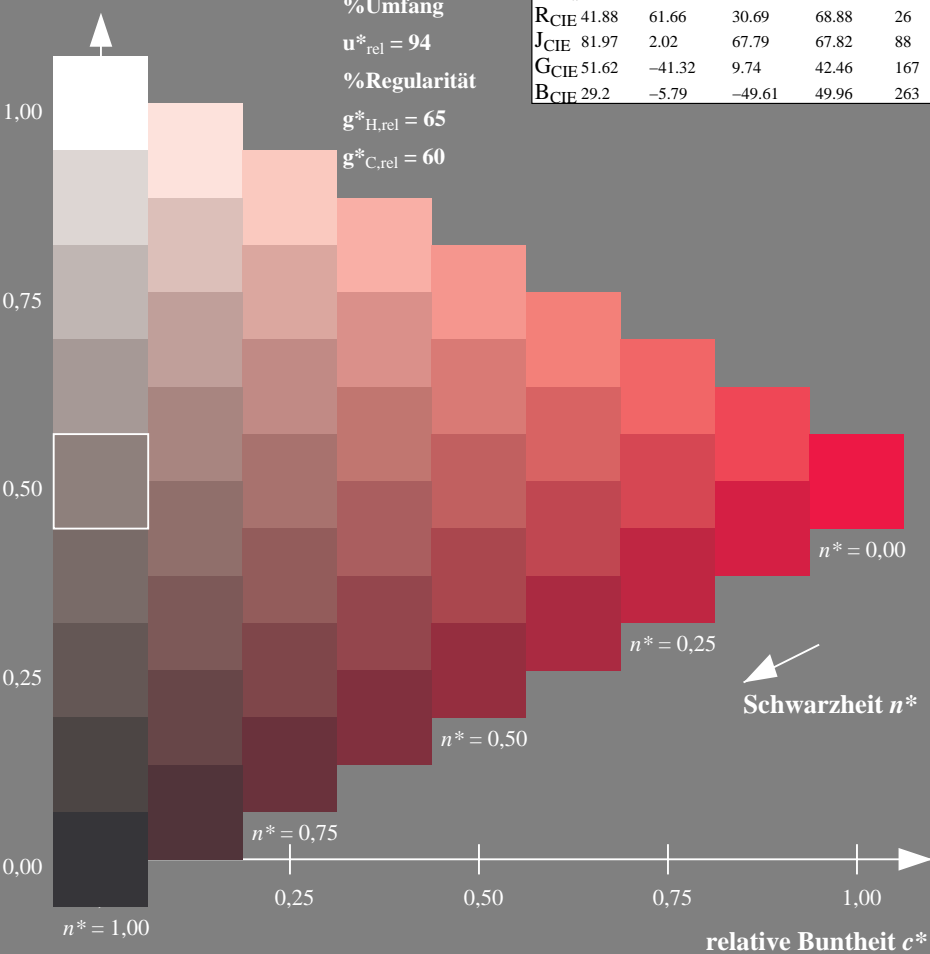
olv*Ma: 1.0 0.0 0.3



ORS18; adaptierte CIELAB-Daten

	$L^*=L^*_a$	a^*_a	b^*_a	$C^*_{ab,a}$	$h^*_{ab,a}$
O _{Ma}	47.94	65.05	50.54	82.38	38
Y _{Ma}	91.0	-4.72	90.58	90.7	93
L _{Ma}	50.9	-63.18	34.98	72.22	151
C _{Ma}	56.99	-39.34	-48.1	62.16	231
V _{Ma}	25.72	30.89	-44.4	54.09	305
M _{Ma}	49.99	75.76	-4.64	75.9	356
N _{Ma}	18.09	0.0	0.0	0.0	0
W _{Ma}	95.46	0.0	0.0	0.0	0
R _{CIE}	41.88	61.66	30.69	68.88	26
J _{CIE}	81.97	2.02	67.79	67.82	88
G _{CIE}	51.62	-41.32	9.74	42.46	167
B _{CIE}	29.2	-5.79	-49.61	49.96	263

Dreiecks-Helligkeit t^*



Ausgabe: Farbmatisches Fernseh-Licht-System TLS00

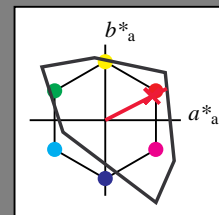
für Buntton $h^* = lab^*h = 27/360 = 0.075$

lab^*tch und lab^*nch

D50: Buntton R

LCH*Ma: 55 92 27

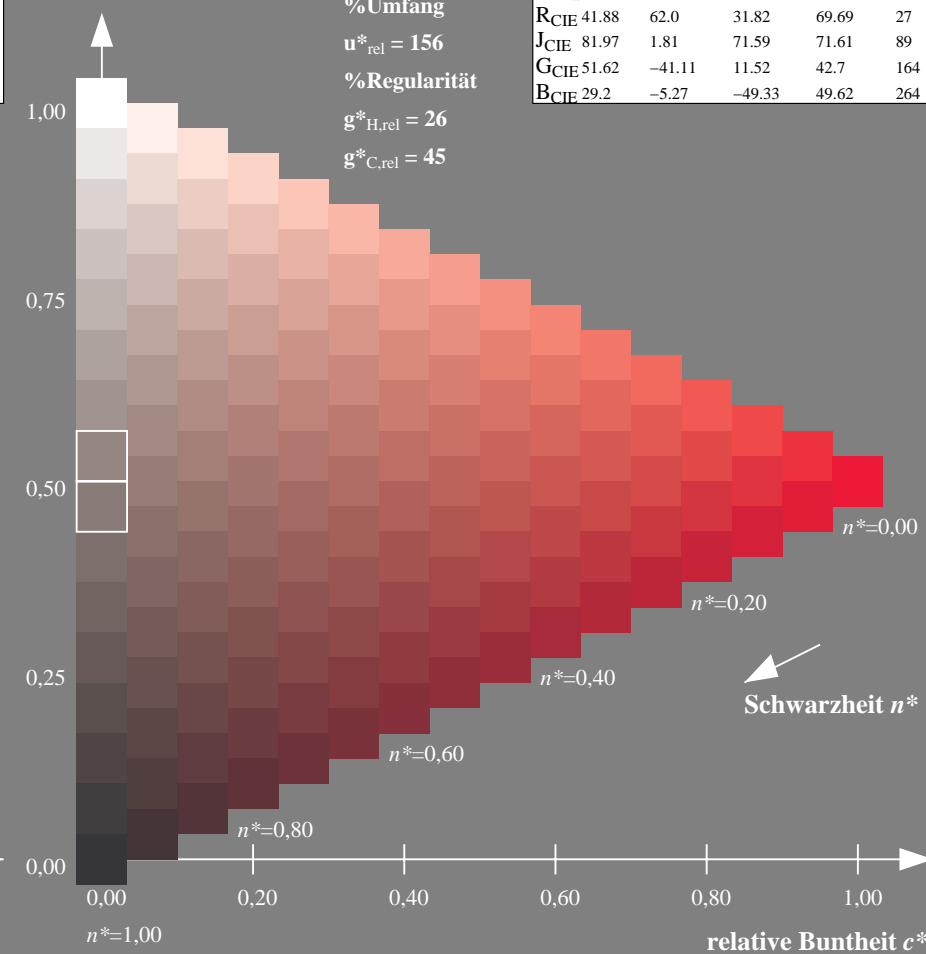
olv*Ma: 1.0 0.0 0.18



TLS00; adaptierte CIELAB-Daten

	$L^*=L^*_a$	a^*_a	b^*_a	$C^*_{ab,a}$	$h^*_{ab,a}$
O _{Ma}	54.19	79.36	63.0	101.33	38
Y _{Ma}	93.44	-14.18	82.59	83.8	100
L _{Ma}	82.82	-83.73	70.41	109.41	140
C _{Ma}	85.22	-55.9	-15.78	58.1	196
V _{Ma}	25.61	67.05	-108.87	127.87	302
M _{Ma}	58.76	91.18	-53.69	105.82	330
N _{Ma}	0.01	0.0	0.0	0.0	0
W _{Ma}	95.41	0.0	0.0	0.0	0
R _{CIE}	41.88	62.0	31.82	69.69	27
J _{CIE}	81.97	1.81	71.59	71.61	89
G _{CIE}	51.62	-41.11	11.52	42.7	164
B _{CIE}	29.2	-5.27	-49.33	49.62	264

Dreiecks-Helligkeit t^*



Siehe ähnliche Dateien: <http://www.ps.bam.de/QG90/>
Technische Information: <http://www.ps.bam.de/Version 2.1, io=0.0?>

BAM-Registrierung: 20060101-QG90/10L/L90G06SP.PS/.PDF BAM-Material: Code=rh4ta
Anwendung für Beurteilung und Messung von Drucker- oder Monitorssystemen
/QG90/ Form: 7/10, Serie: 1/1, Seite: 7
Satzanzahlung 7

QG900-7, 9stufige Reihen für konstanten CIELAB Buntton 26/360 = 0.074 (links)

16stufige Reihen für konstanten CIELAB Buntton 27/360 = 0.075 (rechts)

BAM-Prüfvorlage QG90; Farbmatrik-Systeme ORS18 & ORS18input: *cmy0* setcmykcolor*

D50: 9 und 16stufige Farbreihen für 10 Bunttöne

output: *Startup (S) data dependend*

Eingabe: Farbmétrisches Offset-Reflektiv-System ORS18

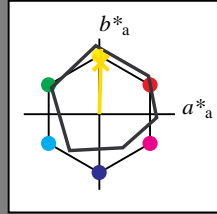
für Buntton $h^* = lab^*h = 88/360 = 0.245$

lab^*tch und lab^*nch

D50: Buntton J

LCH*Ma: 86 86 88

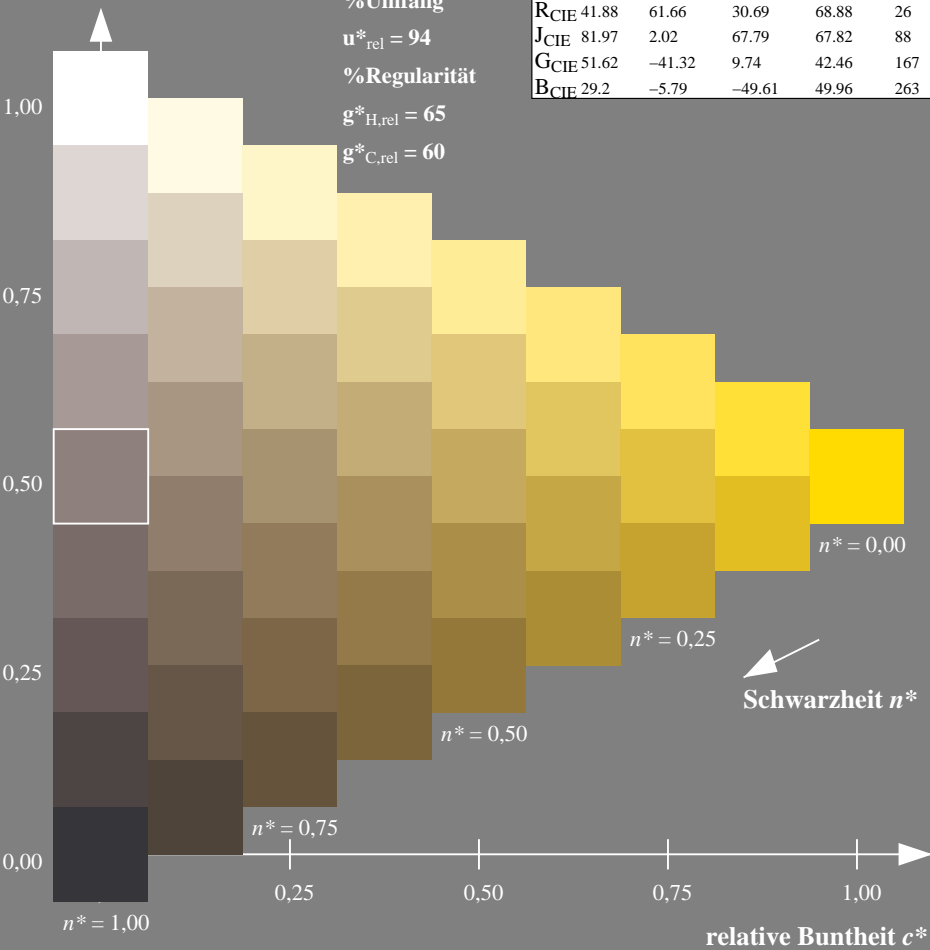
olv*Ma: 1.0 0.9 0.0



ORS18; adaptierte CIELAB-Daten

	$L^*=L^*_a$	a^*_a	b^*_a	$C^*_{ab,a}$	$h^*_{ab,a}$
O _{Ma}	47.94	65.05	50.54	82.38	38
Y _{Ma}	91.0	-4.72	90.58	90.7	93
L _{Ma}	50.9	-63.18	34.98	72.22	151
C _{Ma}	56.99	-39.34	-48.1	62.16	231
V _{Ma}	25.72	30.89	-44.4	54.09	305
M _{Ma}	49.99	75.76	-4.64	75.9	356
N _{Ma}	18.09	0.0	0.0	0.0	0
W _{Ma}	95.46	0.0	0.0	0.0	0
R _{CIE}	41.88	61.66	30.69	68.88	26
J _{CIE}	81.97	2.02	67.79	67.82	88
G _{CIE}	51.62	-41.32	9.74	42.46	167
B _{CIE}	29.2	-5.79	-49.61	49.96	263

Dreiecks-Helligkeit t^*



Ausgabe: Farbmétrisches Fernseh-Licht-System TLS00

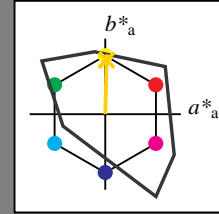
für Buntton $h^* = lab^*h = 89/360 = 0.246$

lab^*tch und lab^*nch

D50: Buntton J

LCH*Ma: 87 79 89

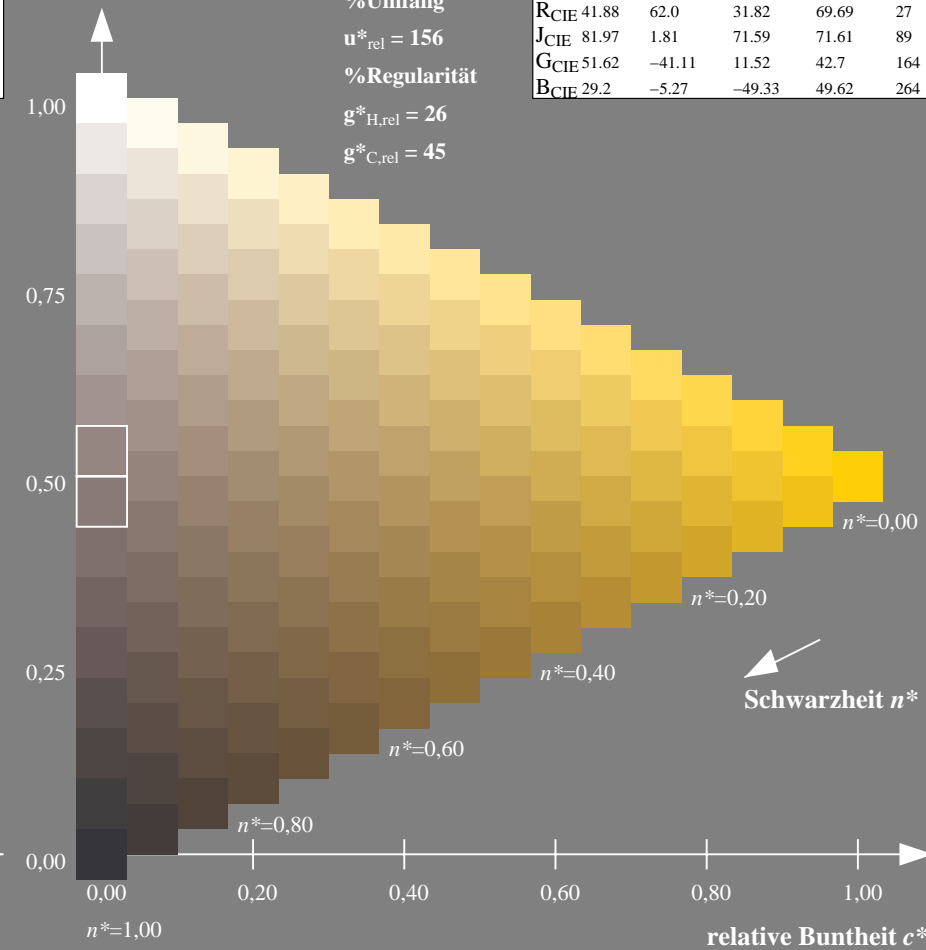
olv*Ma: 1.0 0.83 0.0



TLS00; adaptierte CIELAB-Daten

	$L^*=L^*_a$	a^*_a	b^*_a	$C^*_{ab,a}$	$h^*_{ab,a}$
O _{Ma}	54.19	79.36	63.0	101.33	38
Y _{Ma}	93.44	-14.18	82.59	83.8	100
L _{Ma}	82.82	-83.73	70.41	109.41	140
C _{Ma}	85.22	-55.9	-15.78	58.1	196
V _{Ma}	25.61	67.05	-108.87	127.87	302
M _{Ma}	58.76	91.18	-53.69	105.82	330
N _{Ma}	0.01	0.0	0.0	0.0	0
W _{Ma}	95.41	0.0	0.0	0.0	0
R _{CIE}	41.88	62.0	31.82	69.69	27
J _{CIE}	81.97	1.81	71.59	71.61	89
G _{CIE}	51.62	-41.11	11.52	42.7	164
B _{CIE}	29.2	-5.27	-49.33	49.62	264

Dreiecks-Helligkeit t^*



QG900-7, 9stufige Reihen für konstanten CIELAB Buntton 88/360 = 0.245 (links)

16stufige Reihen für konstanten CIELAB Buntton 89/360 = 0.246 (rechts)

BAM-Prüfvorlage QG90; Farbmétrik-Systeme ORS18 & ORS18input: *cmY0* setcmykcolor*

D50: 9 und 16stufige Farbreihen für 10 Bunttöne

output: *Startup (S) data dependend*

Siehe ähnliche Dateien: <http://www.ps.bam.de/QG90/>
Technische Information: <http://www.ps.bam.de/Version 2.1, io=0,0?>

BAM-Registrierung: 20060101-QG90/10L/L90G07SP.PS/.PDF BAM-Material: Code=rh4ta
Anwendung für Beurteilung und Messung von Drucker- oder Monitorssystemen
/QG90/ Form: 8/10, Serie: 1/1, Seite: 8
Satzanzahlung 8

Eingabe: Farbmatisches Offset-Reflektiv-System ORS18

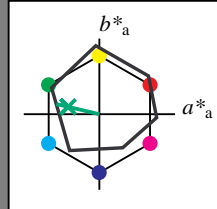
für Buntton $h^* = lab^*h = 167/360 = 0.463$

lab^*tch und lab^*nch

D50: Buntton G

LCH*Ma: 52 59 167

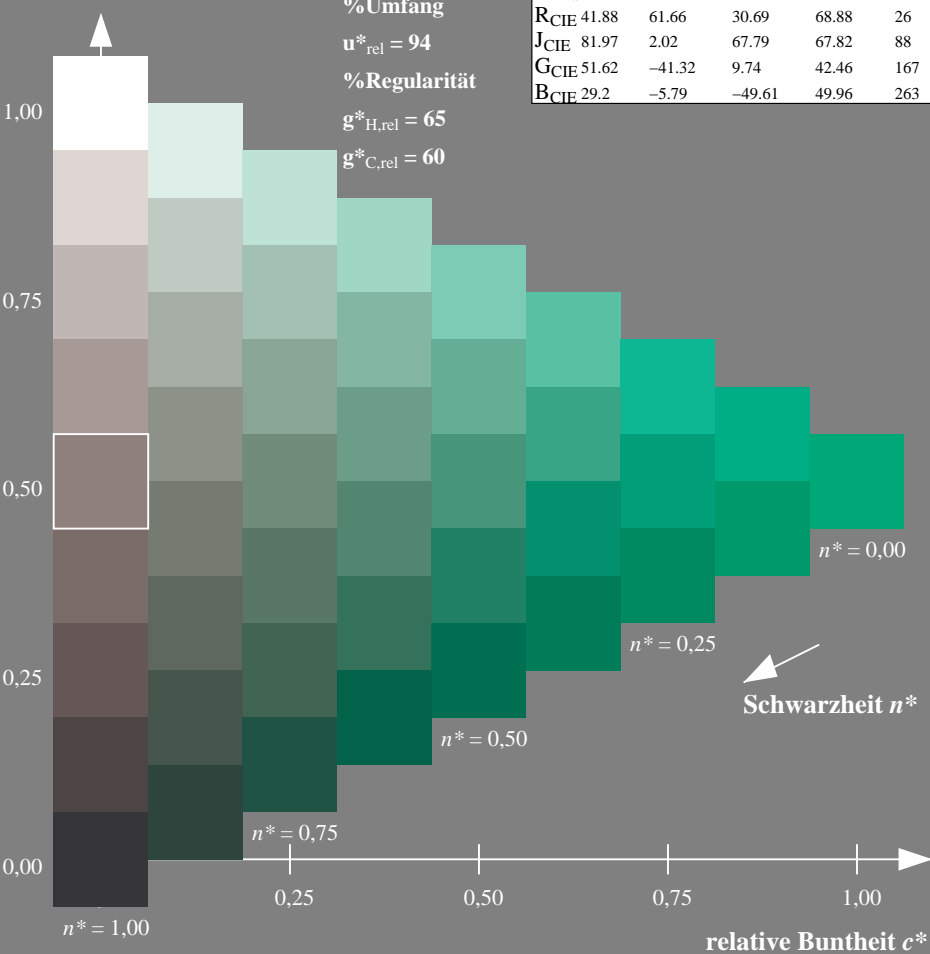
olv*Ma: 0.0 1.0 0.26



ORS18; adaptierte CIELAB-Daten

	$L^*=L^*_a$	a^*_a	b^*_a	$C^*_{ab,a}$	$h^*_{ab,a}$
OMa	47.94	65.05	50.54	82.38	38
YMa	91.0	-4.72	90.58	90.7	93
LMa	50.9	-63.18	34.98	72.22	151
CMa	56.99	-39.34	-48.1	62.16	231
VMa	25.72	30.89	-44.4	54.09	305
MMa	49.99	75.76	-4.64	75.9	356
NMa	18.09	0.0	0.0	0.0	0
WMa	95.46	0.0	0.0	0.0	0
RCIE	41.88	61.66	30.69	68.88	26
JCIE	81.97	2.02	67.79	67.82	88
GCIE	51.62	-41.32	9.74	42.46	167
BCIE	29.2	-5.79	-49.61	49.96	263

Dreiecks-Helligkeit t^*



%Umfang

$u^*_{rel} = 94$

%Regularität

$g^*_{H,rel} = 65$

$g^*_{C,rel} = 60$

Ausgabe: Farbmatisches Fernseh-Licht-System TLS00

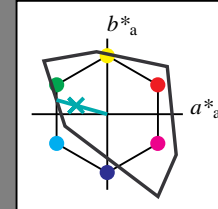
für Buntton $h^* = lab^*h = 164/360 = 0.457$

lab^*tch und lab^*nch

D50: Buntton G

LCH*Ma: 84 70 164

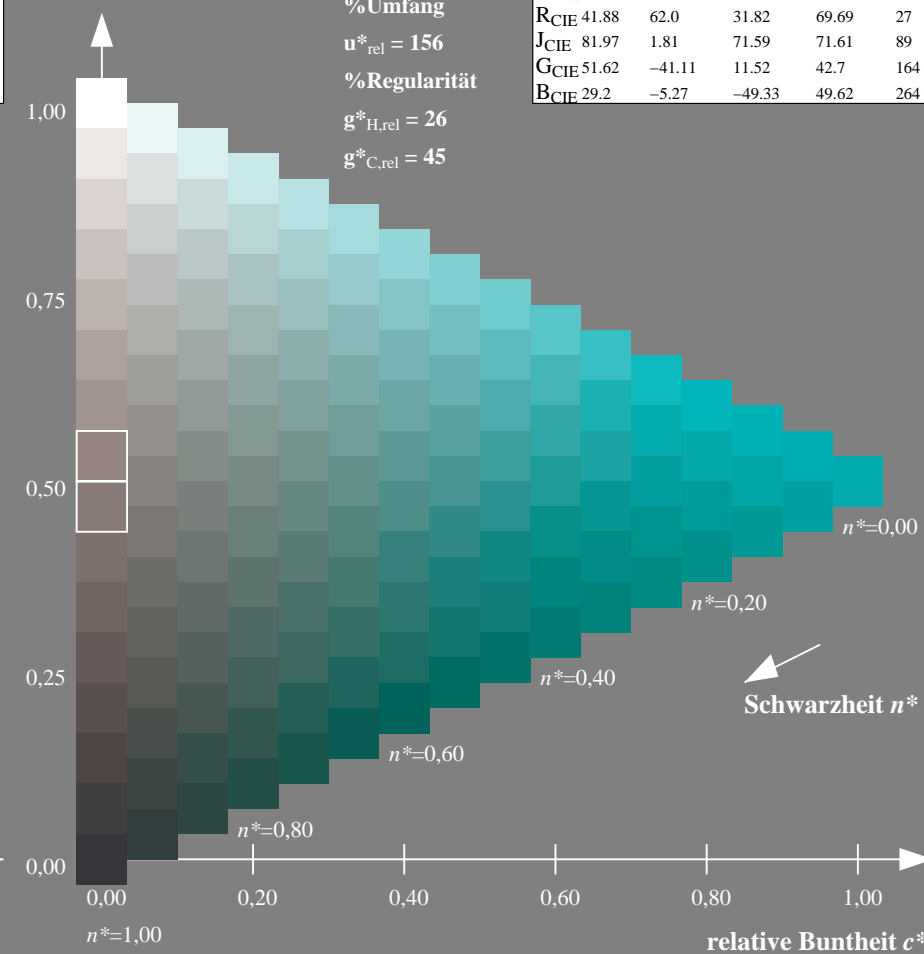
olv*Ma: 0.0 1.0 0.6



TLS00; adaptierte CIELAB-Daten

	$L^*=L^*_a$	a^*_a	b^*_a	$C^*_{ab,a}$	$h^*_{ab,a}$
OMa	54.19	79.36	63.0	101.33	38
YMa	93.44	-14.18	82.59	83.8	100
LMa	82.82	-83.73	70.41	109.41	140
CMa	85.22	-55.9	-15.78	58.1	196
VMa	25.61	67.05	-108.87	127.87	302
MMa	58.76	91.18	-53.69	105.82	330
NMa	0.01	0.0	0.0	0.0	0
WMa	95.41	0.0	0.0	0.0	0
RCIE	41.88	62.0	31.82	69.69	27
JCIE	81.97	1.81	71.59	71.61	89
GCIE	51.62	-41.11	11.52	42.7	164
BCIE	29.2	-5.27	-49.33	49.62	264

Dreiecks-Helligkeit t^*



%Umfang

$u^*_{rel} = 156$

%Regularität

$g^*_{H,rel} = 26$

$g^*_{C,rel} = 45$

Siehe ähnliche Dateien: <http://www.ps.bam.de/QG90/>
Technische Information: <http://www.ps.bam.de/Version 2.1, io=0,0?>

BAM-Registrierung: 20060101-QG90/10L/L90G08SP.PS/.PDF BAM-Material: Code=rh4ta
Anwendung für Beurteilung und Messung von Drucker- oder Monitorssystemen
/QG90/ Form: 9/10, Serie: 1/1, Seite: 9
Satzzeitung 9

QG900-7, 9stufige Reihen für konstanten CIELAB Buntton 167/360 = 0.463 (links)

16stufige Reihen für konstanten CIELAB Buntton 164/360 = 0.457 (rechts)

BAM-Prüfvorlage QG90; Farbmatrik-Systeme ORS18 & ORS18input: *cmY0* setcmykcolor*

D50: 9 und 16stufige Farbreihen für 10 Bunttöne

output: *Startup (S) data dependend*

Eingabe: Farbmétrisches Offset-Reflektiv-System ORS18

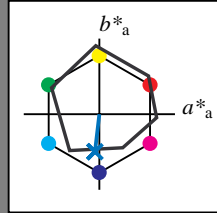
für Buntton $h^* = lab^*h = 263/360 = 0.731$

lab^*tch und lab^*nch

D50: Buntton B

LCH*Ma: 42 47 263

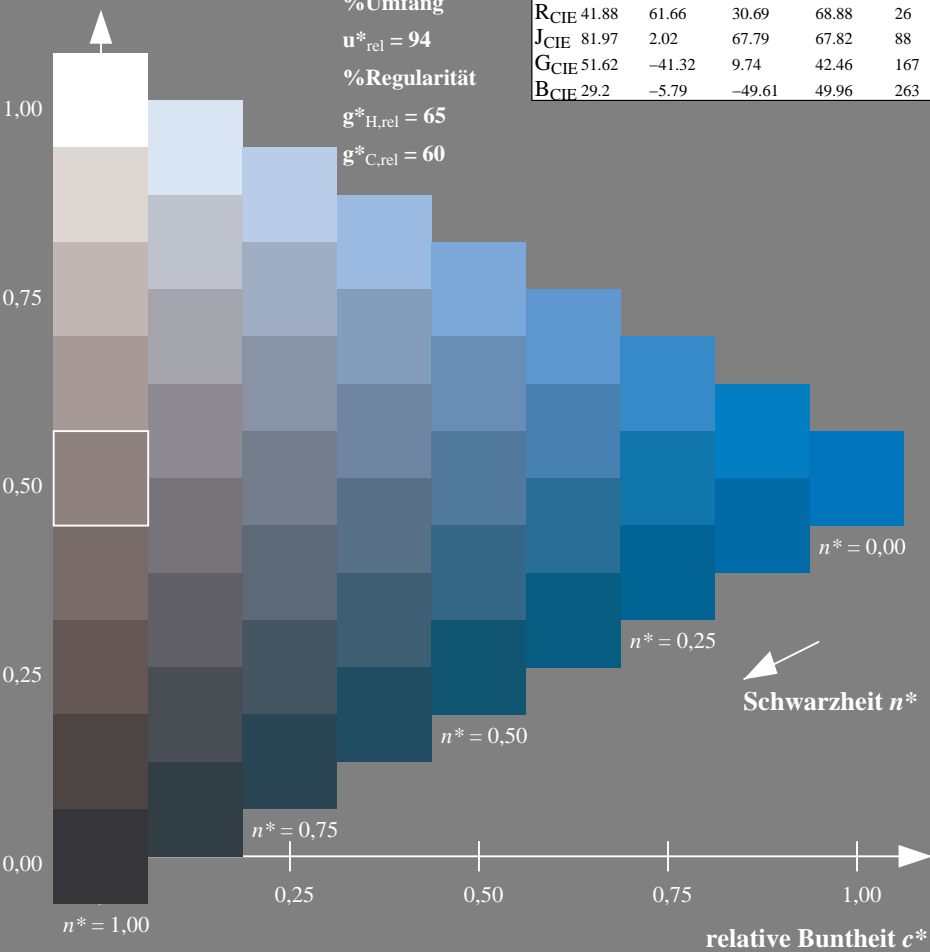
olv*Ma: 0.0 0.52 1.0



ORS18; adaptierte CIELAB-Daten

	$L^*=L^*_a$	a^*_a	b^*_a	$C^*_{ab,a}$	$h^*_{ab,a}$
O _{Ma}	47.94	65.05	50.54	82.38	38
Y _{Ma}	91.0	-4.72	90.58	90.7	93
L _{Ma}	50.9	-63.18	34.98	72.22	151
C _{Ma}	56.99	-39.34	-48.1	62.16	231
V _{Ma}	25.72	30.89	-44.4	54.09	305
M _{Ma}	49.99	75.76	-4.64	75.9	356
N _{Ma}	18.09	0.0	0.0	0.0	0
W _{Ma}	95.46	0.0	0.0	0.0	0
R _{CIE}	41.88	61.66	30.69	68.88	26
J _{CIE}	81.97	2.02	67.79	67.82	88
G _{CIE}	51.62	-41.32	9.74	42.46	167
B _{CIE}	29.2	-5.79	-49.61	49.96	263

Dreiecks-Helligkeit t^*



Ausgabe: Farbmétrisches Fernseh-Licht-System TLS00

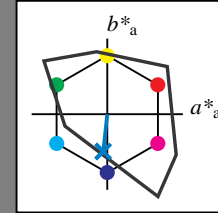
für Buntton $h^* = lab^*h = 264/360 = 0.733$

lab^*tch und lab^*nch

D50: Buntton B

LCH*Ma: 61 54 264

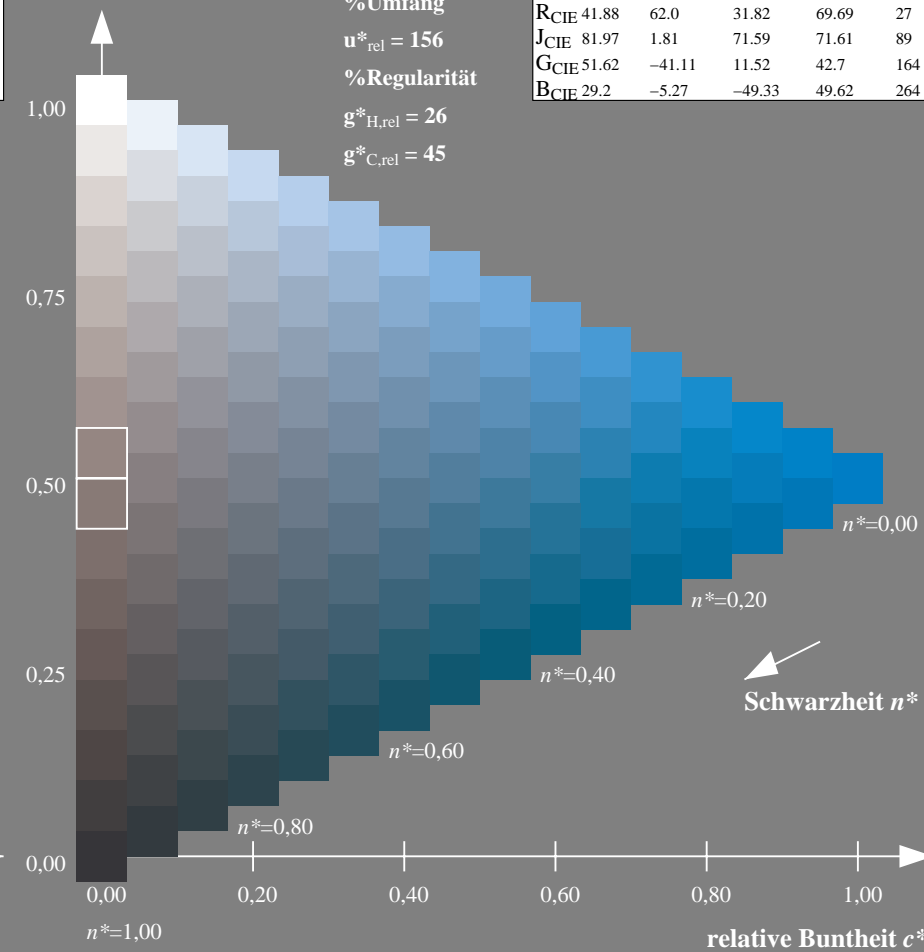
olv*Ma: 0.0 0.59 1.0



TLS00; adaptierte CIELAB-Daten

	$L^*=L^*_a$	a^*_a	b^*_a	$C^*_{ab,a}$	$h^*_{ab,a}$
O _{Ma}	54.19	79.36	63.0	101.33	38
Y _{Ma}	93.44	-14.18	82.59	83.8	100
L _{Ma}	82.82	-83.73	70.41	109.41	140
C _{Ma}	85.22	-55.9	-15.78	58.1	196
V _{Ma}	25.61	67.05	-108.87	127.87	302
M _{Ma}	58.76	91.18	-53.69	105.82	330
N _{Ma}	0.01	0.0	0.0	0.0	0
W _{Ma}	95.41	0.0	0.0	0.0	0
R _{CIE}	41.88	62.0	31.82	69.69	27
J _{CIE}	81.97	1.81	71.59	71.61	89
G _{CIE}	51.62	-41.11	11.52	42.7	164
B _{CIE}	29.2	-5.27	-49.33	49.62	264

Dreiecks-Helligkeit t^*



QG900-7, 9stufige Reihen für konstanten CIELAB Buntton 263/360 = 0.731 (links)

16stufige Reihen für konstanten CIELAB Buntton 264/360 = 0.733 (rechts)

BAM-Prüfvorlage QG90; Farbmétrik-Systeme ORS18 & ORS18input: *cmY0* setcmykcolor*

D50: 9 und 16stufige Farbreihen für 10 Bunttöne

output: *Startup (S) data dependend*

Siehe ähnliche Dateien: <http://www.ps.bam.de/QG90/>
Technische Information: <http://www.ps.bam.de/Version 2.1, io=0,0?>

BAM-Registrierung: 20060101-QG90/10L/L90G09SP.PS/.PDF BAM-Material: Code=rh4ta
Anwendung für Beurteilung und Messung von Drucker- oder Monitorssystemen
/QG90/ Form: 10105Ser: 1/1, Seite: 10
Satzanzahlung 10